

## NMR Strukturbestimmung

Peter Güntert

### Inhalt

1. Konformationsdaten aus NMR Messungen
2. Strukturbeschreibung mit Atomkoordinaten oder Torsionswinkel
3. Strukturbestimmung: grundsätzliche Möglichkeit, praktische Schwierigkeiten
4. Strukturberechnungsalgorithmen: interaktiver Modellbau, Distanzgeometrie, Optimierung einer Zielfunktion, Simulated Annealing, Moleküldynamiksimulation, Torsionswinkeldynamik
5. Darstellung von NMR Strukturen: Strukturbündel, RMSDs
6. Strukturanalyse: Validierung
7. Automatisierung der NOE-Zuordnung und Strukturberechnung

# Konformations- daten aus NMR Messungen

### Konformationsdaten aus NMR Messungen

1. NOEs
2.  $^3J$  skalare Kopplungen
3. H-Brücken
4. Chemische Verschiebungen
5. Residuelle dipolare Kopplungen (RDC)
- ...

### NOE (Nuclear Overhauser Effect)

NMR Daten: Integral  $V$  von NOESY Kreuzsignalen  
 Konformationsdaten: obere Schranken für  $^{1\text{H}}\text{-}^{1\text{H}}$  Distanzen,  $d$   
 Für isoliertes Spinpaar im starren Molekül:

$$V = C/d^6 \quad \text{mit } C = \text{konstant}$$

Eigenschaften:

- nur kurze Distanzen < 5 Å messbar
- dichtes Netzwerk bzgl. der Sequenz kurz- und langreichweitiger Distanzschränken
- viele  $^1\text{H}$  Atome im Molekül → "Spindiffusion"
- interne Bewegungen → nicht-lineare Mittelung
- Bestimmung der Konstanten  $C$ ?
- Überlapp → mehrdeutige Zuordnung, verfälschte Integrale
- Verwendung als obere Distanzschränke

### NOE Calibration

$$V = C / d^6$$

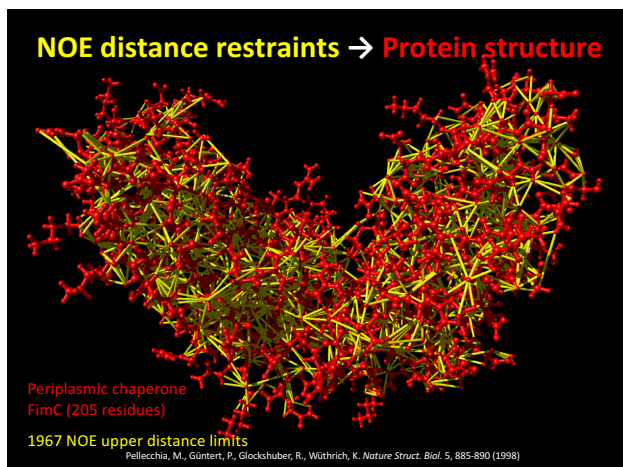
Volume of  
NOESY  
cross peak

"Calibration  
constant"

Distance  
(upper  
distance  
bound)

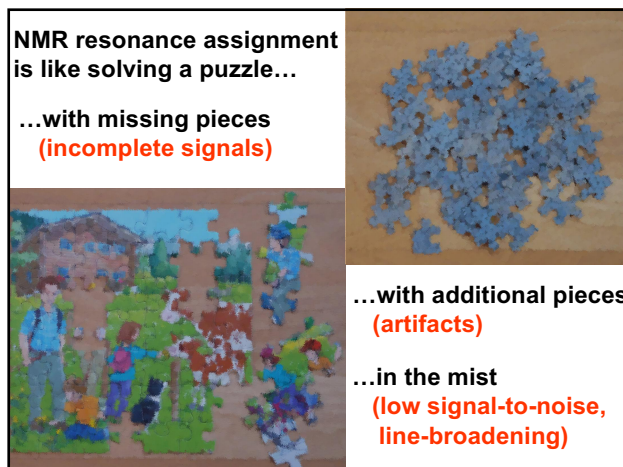
How to set the calibration constant?

- Known distances (intraresidual or in standard secondary structures)
- Preliminary structure, if available
- User-defined value for the average (median) upper distance limit

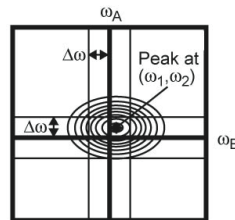


## Problems when interpreting NOEs

- Internal motion
- Spin diffusion
- Spectral overlap
- Chemical shift degeneracy
- Time consuming spectral analysis, if done manually → automation



## Ambiguity of chemical shift based NOE assignment

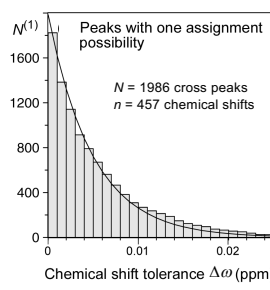


In general, several different  $^1\text{H}$  chemical shifts  $\omega_A$ ,  $\omega_B$  match the position of a NOESY peak within the experimental uncertainty  $\Delta\omega$ .

→ Assignment ambiguity

Manual assignment is very cumbersome!

## NOEs with a unique chemical shift based assignment



2D NOESY:

$$N^{(1)} \approx N \exp(-4n \Delta\omega / \Delta\Omega)$$

3D NOESY:

$$N^{(1)} \approx N \exp(-2n \Delta\omega / \Delta\Omega)$$

$N^{(1)}$  Number of uniquely assigned peaks

$N$  Number of cross peaks

$n$  Number of chemical shifts

$\Delta\omega$  Chemical shift tolerance

$\Delta\Omega$  Spectrum width

## Ambiguous distance restraints

$$d_{\text{eff}} = \left( \sum_k d_k^{-6} \right)^{-1/6} \leq b$$

upper distance bound  
distance for assignment possibility  $k$   
sum over all assignment possibilities

- Restraint with multiple assignments
  - If one assignment possibility leads to a sufficiently short distance, then the ambiguous distance restraint will be fulfilled.
- The presence of wrong assignment possibilities has no (or little) influence on the structure, as long as the correct assignment possibility is present.

Nilges et al., *J. Mol. Biol.* 269, 408–422 (1997)

## Properties of ambiguous distance restraints

$$d_{\text{eff}} = \left( \sum_k d_k^{-6} \right)^{-1/6}$$

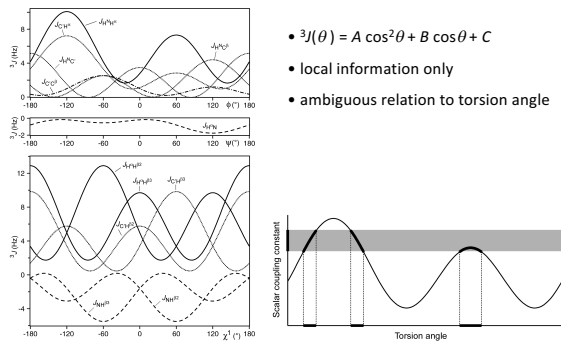
- $d_{\text{eff}}$  is never longer than any of the individual distances  $d_k$ :  
 $d_{\text{eff}} \leq d_k \quad \text{for all } k$
- $d_{\text{eff}}$  is close to the smallest individual distance:  
 $d_{\text{eff}} \approx d_1 \quad \text{if } d_1 \ll d_2, d_3, \dots$
- Examples:  $d_1 = 3 \text{ \AA}, d_2 = 10 \text{ \AA} \rightarrow d_{\text{eff}} = 2.9996 \text{ \AA}$   
 $d_1 = 3 \text{ \AA}, d_2 = \dots = d_{10} = 10 \text{ \AA} \rightarrow d_{\text{eff}} = 2.9967 \text{ \AA}$

## $^3J$ skalare Kopplungen

NMR Daten: Aufspaltung eines Signals  
Konformationsdaten: Einschränkungen von Torsionswinkeln,  $\theta$   
Karplus-Kurve:  $^3J(\theta) = A \cos^2 \theta + B \cos \theta + C$  mit empirischen Konstanten  $A, B, C$   
Zum Beispiel:  $^3J_{\text{HNH}\alpha}(\phi)$ ,  $^3J_{\text{H}\alpha\text{H}\beta}(\chi^1)$

- Eigenschaften:
- Information nur über lokale Konformation
  - mehrdeutige Beziehung  $^3J \leftrightarrow \theta$

## $^3J$ scalar couplings



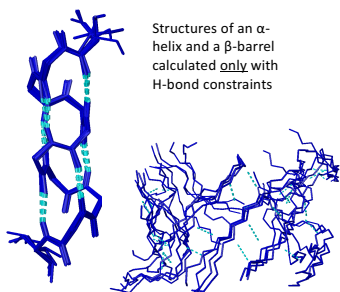
- $^3J(\theta) = A \cos^2 \theta + B \cos \theta + C$
- local information only
- ambiguous relation to torsion angle

## H-Brücken

NMR Daten: langsamer  $^1\text{H} \rightarrow ^2\text{H}$  Austausch + NOEs  
Konformationsdaten: Donor-Akzeptor Distanz  
Typische H-Brücken: -N-H  $\cdots$  O=C- in regulären Sekundärstrukturen (Helices,  $\beta$ -Blätter)  
Eigenschaften:

- Bzgl. Sequenz mittel- und langreichweitig
- Donor (H) identifizierbar
- Akzeptor (O) i. A. nur indirekt bestimmbar (benachbarte NOEs + Annahmen über Sekundärstruktur)

## Impact of hydrogen bond restraints



Structures of an  $\alpha$ -helix and a  $\beta$ -barrel calculated only with H-bond constraints

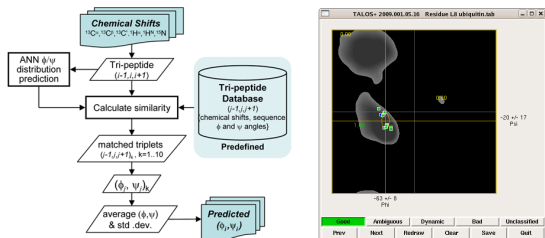
- Strong impact on structure
- Direct detection of H-bonds by NMR is possible, but not sensitive
- Without identification of acceptor atom  $\approx$  assumption on secondary structure

## Chemische Verschiebungen

NMR Daten: chem. Verschiebungen,  $\delta$   
Konformationsdaten:  $(\phi, \psi)$  Torsionswinkelbereiche  
Komplexe Beziehung:  $\delta \leftrightarrow (\phi, \psi)$   
Eigenschaften:

- einfache Messung
- $(\phi, \psi)$ -Werte aus Datenbank von Proteinen mit bekannter Struktur und chem. Verschiebungen (TALOS)
- Information über lokale Konformation bzw. Sekundärstruktur

### TALOS+: Torsion angle restraints from chemical shifts



#### Reliability of TALOS+ torsion angle predictions:

- On average, TALOS+ makes consistent predictions for about 88% of the residues.
- Over all 200 database proteins, about 2.5% of the unambiguous predictions made by TALOS+ were incorrect relative to the corresponding crystal structure. However, a substantial fraction of this 2.5% appears to reflect genuine differences relative to the crystalline state, and the true error rate therefore is believed to be below 2.5%.
- On average, the uncertainty as reported by TALOS+ for the consensus predictions was 12.6° for  $\phi$ , and 12.3° for  $\psi$ .
- The actual RMSD of the "correct" predictions relative to the crystal structures was about 13.5° for  $\phi$ , and 12.9° for  $\psi$ .

### Residuelle dipolare Kopplungen (RDC)

NMR Daten: Zusätzliche Signalaufspaltung bei partieller Molekülausrichtung, z.B.  ${}^1J_{\text{NH}} \rightarrow {}^1J_{\text{NH}} + D_{\text{NH}}$

Konformationsdaten: Orientierung von Bindungen relativ zur Molekülausrichtung

Residuelle dipolare Kopplung:  $D(\theta, \phi) = A [(3\cos^2\theta - 1) + 3/2 R \sin^2\theta \cos 2\phi]$

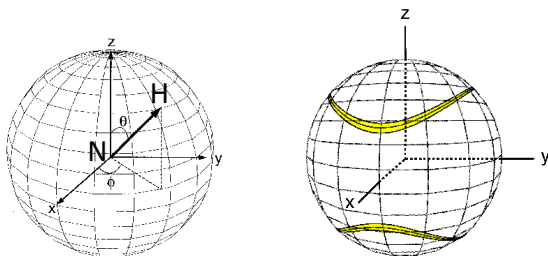
$A, R$  Amplitude (Betrag) und Rhombizität (Abweichung von Rotationsymmetrie) des Ausrichtungstensors

$\theta, \phi$  Richtung der Bindung relativ zum Ausrichtungstensor (Polarkoordinaten)

Eigenschaften:

- Proteinprobe in schwach ausrichtendem Medium (Flüssigkristalle/Bizellen, fadenförmige Phagen, komprimierte Gele)
- Information über globale Konformation, z.B. relative Ausrichtung von Domänen
- Entartung: 1 Messwert  $\rightarrow$  Doppelkegel von Richtungen
- Bestimmung des Ausrichtungstensors ( $A, R$ )?

### Residuelle dipolare Kopplungen



$$D(\theta, \phi) = A [(3\cos^2\theta - 1) + 3/2 R \sin^2\theta \cos 2\phi]$$

### Strukturberechnungs-algorithmen

#### Ist NMR Strukturberechnung möglich?

- Grundsätzlich:
  - NOEs messen nur kurze Distanzen < 5 Å
  - ungenaue obere Schranken
  - Kann damit die globale Struktur eines 30 Å langen Proteins bestimmt werden?  
JA, wenn genügend Daten vorhanden sind.
- Praktisch:
  - Zielfunktion hat viele lokale Minima
  - Kann eine (fast) optimale Struktur gefunden werden?  
JA.

#### Strukturberechnungsalgorithmen

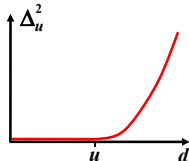
- Frühere Methoden:
  - Interaktiver Modellbau
  - Distanzgeometrie
  - Minimierung einer variablen Zielfunktion
- Simulated annealing:
  - Monte Carlo
  - Moleküldynamiksimulation im kartesischen Raum
  - Moleküldynamiksimulation im Torsionswinkelraum

## CYANA target function

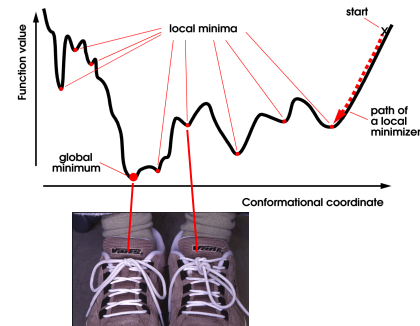
$$T = \sum_{\text{upper distance limits (NOEs)}} \Delta_u^2 + \sum_{\text{lower distance limits (steric)}} \Delta_l^2 + \sum_{\text{torsion angle restraints}} \Delta_a^2 + \dots$$

$\Delta_u, \Delta_l, \Delta_a$ : restraint violations,

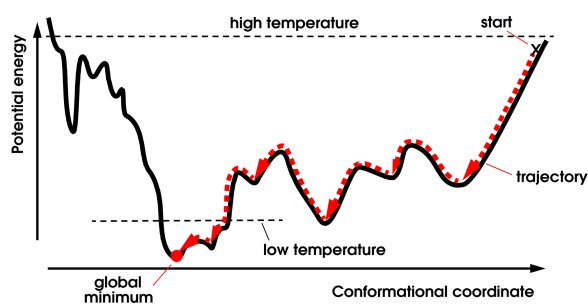
e. g.,  $\Delta_u = \begin{cases} d - u & \text{if } d > u \\ 0 & \text{otherwise} \end{cases}$



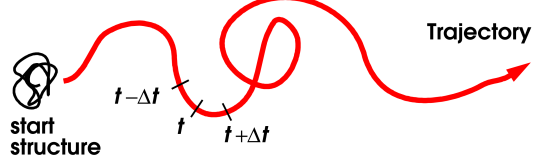
Target function = potential energy



## Simulated annealing



## Molecular Dynamics Simulation



Numerical integration of classical equations of motion

## Integration of the equations of motion

e.g. "leap-frog" algorithm

$$q(t + \Delta t) = q(t) + \Delta t \dot{q}(t + \Delta t/2) + O(\Delta t^3)$$

$$\dot{q}(t + \Delta t/2) = \dot{q}(t - \Delta t/2) + \Delta t \ddot{q}(t) + O(\Delta t^3)$$

$q$  coordinates (Cartesian or torsional)

$\dot{q} = \frac{dq}{dt}$  velocities

$\ddot{q} = \frac{d^2q}{dt^2}$  accelerations

$\Delta t$  time step

# Atomkoordinaten Torsionswinkel

## Strukturbeschreibung

Atomkoordinaten (kartesische Koordinaten):

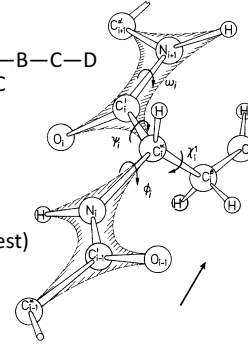
- 3 Freiheitsgrade pro Atom
- abhängig von der Wahl des Koordinatensystems
- beinhalten auch "unwichtige" Freiheitsgrade
- einfach

Torsionswinkel (= Diederwinkel, Dihedralwinkel):

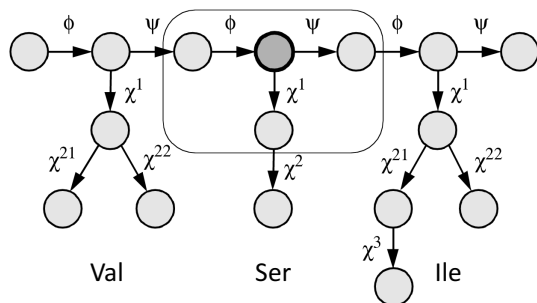
- Drehungen um Einfachbindungen
- interne Koordinaten
- essentielle Freiheitsgrade
- Bindungslängen, Bindungswinkel fest
- kompliziertere aber effizientere Algorithmen

## Torsionswinkel

- Definiert durch 4 Atome: A—B—C—D
  - Drehung um Bindung B—C
  - Werte von -180° bis +180°
- Torsionswinkel von AS  $i$ :
  $\phi_i: C'_{i-1}—N_i—C^{\alpha}_i—C'_i$   
 $\psi_i: N_i—C^{\alpha}_i—C'_i—N_{i+1}$   
 $\omega_i: C^{\alpha}_i—C_i—N_{i+1}—C^{\alpha}_{i+1}$  (fest)  
 $\chi_i: N_i—C^{\alpha}_i—C^{\beta}_i—C'_i$



## Torsionswinkel: Baumstruktur



## MD Simulation im Torsionswinkelraum "Torsionswinkeldynamik"

- Klassische Mechanik
- $N$  Torsionswinkel als einzige Freiheitsgrade
- Etwa 10 Mal weniger Freiheitsgrade als im kartesischen Raum.
- Feste Bindungslängen und -winkel:  
 → "Einfrieren" der schnellsten Bewegungen  
 → Längere Zeitschritte

Jain, Vaidehi, Rodriguez, *J. Comp. Phys.* 106, 258–268 (1993)  
 Güntert, Mumenthaler, Wüthrich, *J. Mol. Biol.* 273, 283–298 (1997)

## Equations of motion

**Cartesian coordinates:**  $x_1, \dots, x_N$

$$m_i \ddot{x}_i = -\frac{\partial E_{\text{pot}}}{\partial x_i} \quad (\text{Newton})$$

**Generalized coordinates:**  $q_1, \dots, q_n$

$$\frac{d}{dt} \left( \frac{\partial L}{\partial \dot{q}_k} \right) - \frac{\partial L}{\partial q_k} = 0 \quad (\text{Lagrange})$$

with  $L = E_{\text{kin}} - E_{\text{pot}}$

## Molecular Dynamics

### Cartesian space

$$E_{\text{kin}} = \frac{1}{2} \sum_{i=1}^N m_i \dot{x}_i^2$$

diagonal, constant  
(elements  $m_i$ )

$$\ddot{x}_i = -\frac{1}{m_i} \frac{\partial E_{\text{pot}}}{\partial x_i}$$

proportional to  $N$

Computational complexity

### Torsion angle space

$$E_{\text{kin}} = \frac{1}{2} \sum_{k,l=1}^n M(\theta_{kl}) \dot{\theta}_k \dot{\theta}_l$$

non-diagonal,  
non-constant,  $n \times n$

$$M(\theta) \ddot{\theta} = C(\theta, \dot{\theta})$$

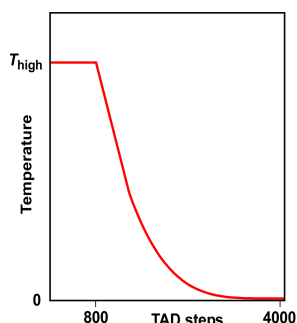
( $n$  linear equations)

solving linear system  
of equations:  $\sim n^3$

exploiting tree structure  
of the molecule:  $\sim n$

## Simulated annealing protocol

- Start from random structure
- Use all restraints simultaneously
- Adjustable parameters:
  - start temperature,  $T_{\text{high}}$
  - number of TAD steps



## Temperature control

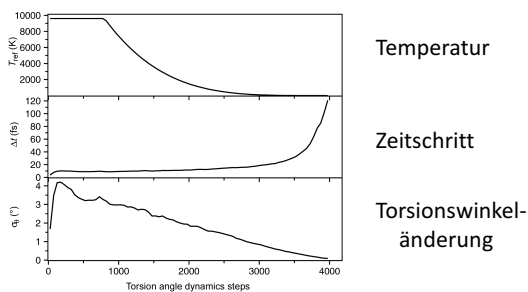
Weak coupling to a heat bath is used to control the temperature:

$$\dot{\theta} \leftarrow \dot{\theta} \sqrt{1 + \frac{T^{\text{ref}} - T}{\tau T}}$$

$\dot{\theta}$  torsional velocities  
 $T$  instantaneous temperature,  $T = \frac{2E_{\text{kin}}}{nk_B}$   
coupling constant

(Berendsen et al., J. Chem. Phys. 81, 3684–3690, 1984)

## Simulated annealing mit Torsionswinkeldynamik



## Strukturbündel RMSDs



NMR Structure Calculation:  
Multiple Conformers

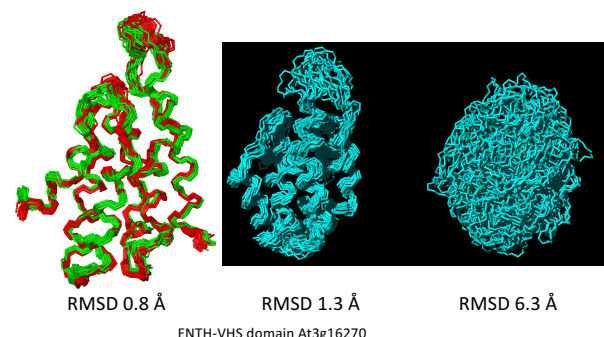


**NMR Structure Calculation**  
**Select Converged Conformers**

## Strukturbündel

- 100 Startstrukturen mit zufälligen Torsionswinkeln
- 100 unabhängige simulated annealing Läufe mit:
  - gleichen experimentellen Daten
  - unterschiedlichen Startstrukturen
- Auswahl der 20 “besten” Strukturen mit den tiefsten Zielfunktionswerten
- Sampling des Konformationsraums?

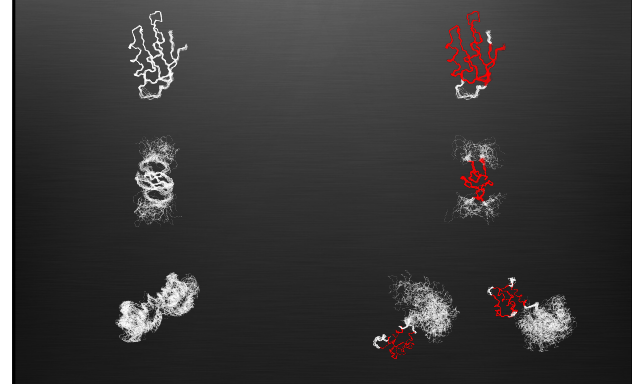
## Strukturbündel



## RMSD (root-mean-square deviation)

- Zwei Strukturen mit  $n$  Atomen und Koordinaten  $\mathbf{x}_1, \mathbf{x}_2, \dots, \mathbf{x}_n$  und  $\mathbf{y}_1, \mathbf{y}_2, \dots, \mathbf{y}_n$
- $$RMSD = \min_{R, \vec{t}} \sqrt{\frac{1}{n} \sum_{i=1}^n |\vec{x}_i - R\vec{y}_i - \vec{t}|^2}$$
- Minimum über alle Rotationen  $R$  und Translationen  $\vec{t} \rightarrow$  optimale Überlagerung

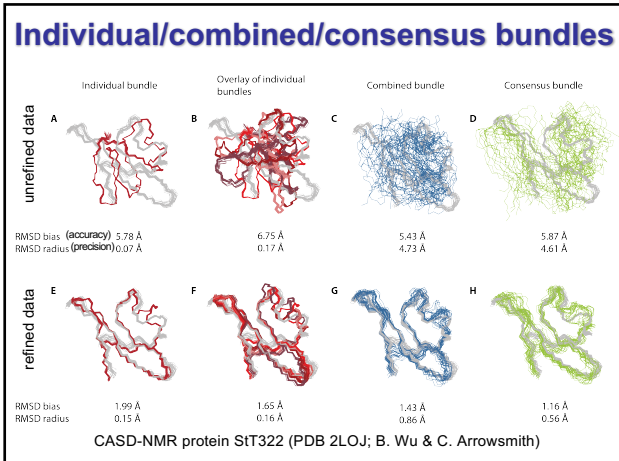
All Residues                            CYRANGE Domains



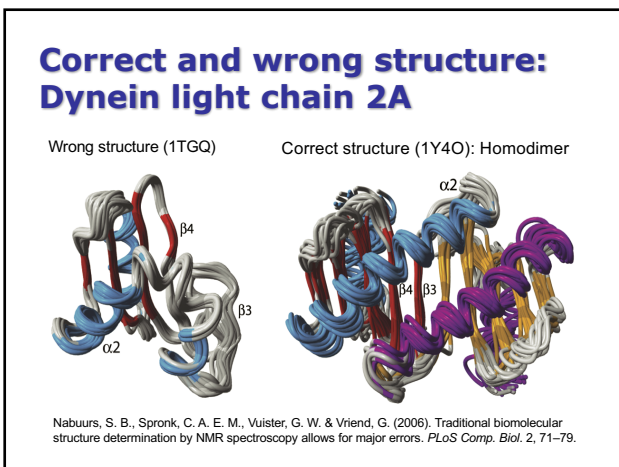
# Consensus structure bundles

## Structure accuracy vs. precision

- NMR structures are represented by bundles of conformers calculated from different randomized initial structures using identical experimental input data.
- The spread among these conformers indicates the **precision** of the atomic coordinates.
- However, there is as yet no reliable measure of structural **accuracy**, i.e. how close NMR conformers are to the “true” structure.
- Instead, the precision of structure bundles is widely (mis)interpreted as a measure of structural quality.
- Attempts to increase precision often overestimate accuracy by tight bundles of high precision but much lower accuracy.



## Strukturanalyse Validierung

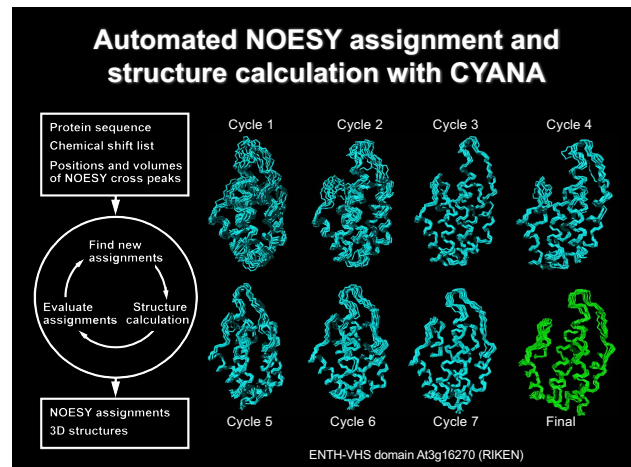


### Validation principles

Agreement of the three-dimensional structure with

- Experimental data
  - Unused experimental data: cross-validation
  - Physical principles
  - Empirical knowledge about protein structures
- Validation of the
- Local structure
  - Global structure
- Absolute/relative validation:
- Is my structure correct? ("absolute")
  - Is structure A more likely to be correct than structure B? ("relative")

**Automatische NOE Zuordnung**



## Output overview table

```

Cycle : 1 2 3 4 5 6 7 final
Peaks:
selected : 5439 5439 5439 5439 5439 5439 5439
with assignment : 5100 4806 4742 4749 4712 4678 4675
without assignment : 339 633 697 690 727 761 764
with cross assignment : 12 12 12 12 12 12 12
Cross peaks:
with off-diagonal assignment : 5088 4794 4730 4737 4700 4666 4663
with unique assignment : 675 3591 3872 3950 4115 4195 4194
with short-range assignment |i-j|<1: 3295 3208 3165 3154 3120 3102 3089
with medium-range assignment 1<|i-j|<5 : 1020 925 921 914 904 884 893
with long-range assignment |i-j|>5: 773 661 644 669 676 680 681
Upper distance limits:
total : 3786 2996 2832 2789 2707 2643 2683 2731
short-range, |i-j|<1 : 2007 1586 1486 1440 1398 1348 1273 1304
medium-range, 1<|i-j|<5 : 1220 959 787 775 751 726 760 765
long-range, |i-j|>5 : 559 451 559 574 568 569 650 662
Average assignments/restraint : 4.81 1.73 1.27 1.25 1.18 1.14 1.00 1.00
Average target function value : 230.84 69.79 68.20 9.22 3.99 2.98 1.70 0.43
RMSE (residues 15..130):
Average backbone RMSE to mean : 1.34 0.97 0.57 0.67 0.68 0.60 0.53 0.53
Average heavy atom RMSE to mean : 1.76 1.44 1.09 1.19 1.20 1.07 0.98 1.01

```

## CYANA Computation Time

- Combined NOE assignment and structure calculation of a 114 amino acid residue protein with the program CYANA:
  - 8 cycles × 100 conformers = **800 structures**
  - 10000 torsion angle dynamics steps per conformer
- Linux cluster system with Quad-core Intel Xeon E5462 (2.8 GHz, 12 MB cache), 2 GB memory/core

Processors Computation time (s)

100	<b>147</b>
50	<b>217</b>
25	<b>354</b>
10	<b>769</b>

## Unterlagen zur Vorlesung

<http://www.bpc.uni-frankfurt.de/guentert/wiki/index.php/Teaching>